



Raport

z badań poziomu natężenia pola elektrycznego
w otoczeniu stacji bazowej:

WRO1111

na podstawie sprawozdania P4/9/2022 udostępnionego przez A-CONNECT Anna Garwol-Porosa

Laboratorium prowadzące badania

A-CONNECT Anna Garwol-Porosa
Strażacka 3/2
58-370 Boguszów-Gorce
692 692 875

Zleceniodawca badań

P4 Sp. z o.o.

02-677 Warszawa
790 500 500
kontakt@play.pl

Nr akredytacji: AB 1284

Data wydania sprawozdania: 31.01.2022

Raport zawiera wybrane elementy sprawozdania i służy wyłącznie obrazowemu przedstawieniu informacji o danej instalacji. Raport nie może być wykorzystywany w postępowaniach administracyjnych.

Informacje ogólne

Zgodność z metodyką RMK: Tak

Ograniczenia: Na podstawie art. 122a ust. 1b ustawy Prawo ochrony środowiska (t.j. Dz.U. z 2020 r., poz. 1219, 1378, 1565, 2127, 2338, z 2021 r. poz. 802, 868, 1047, 1162, 1535.), pomiary PEM w lokalach mieszkalnych i użytkowych zlokalizowanych w obszarze pomiarowym badanej stacji bazowej nie zostały przeprowadzone.

Wykorzystanie w obszarze regulowanym: Tak

Przedmiot badań

Identyfikator stacji w UKE	WRO1111
Operator	P4 Sp. z o.o.
Współrzędne	17,0196130; 51,0858270
Rodzaj pracy	ciągła
Rodzaj wytwarzanego pola	stacjonarne

Miejsce badań

Otoczenie stacji bazowej WRO1111 w lokalizacji Wrocław, Wiśniowa 36a.

Cel badań

1. Zweryfikowanie zgodności z wymaganiami rozporządzenia Ministra Zdrowia z dnia 19 grudnia 2019 r.

Opis stacji bazowych

Tabela 1: Opis anten badanych stacji bazowych

Lp.	Identyfikator stacji w UKE	Typ Producent anteny	Azymut	H	EIRP	Pasma	Tilt	Tilt w trakcie pomiarów
			[°]	[m]	[W]	[MHz]	[°]	[°]
1	WRO1111	ASI4517R3v18 Huawei	20	21,80	18264*	UMTS 900	0,0 - 1,3	0,6
						LTE 800	0,0 - 1,3	0,6
						LTE 1800	0,0 - 1,3	0,6
						LTE 2100	0,0 - 1,3	0,6
						LTE 1800	0,0 - 1,3	0,6
						LTE 2100	0,0 - 1,3	0,6
						LTE 2600	0,0 - 1,3	0,6
						LTE 2600	0,0 - 1,3	0,6
2	WRO1111	ASI4517R3v18 Huawei	120	23,00	18264*	UMTS 900	0,0 - 3,7	1,9
						LTE 800	0,0 - 3,7	1,9
						LTE 1800	2,0 - 3,7	2,0
						LTE 2100	2,0 - 3,7	2,0
						LTE 1800	2,0 - 3,7	2,0
						LTE 2100	2,0 - 3,7	2,0
						LTE 2600	2,0 - 3,7	2,0
						LTE 2600	2,0 - 3,7	2,0
3	WRO1111	ASI4517R3v18 Huawei	240	23,00	18264*	UMTS 900	0,0 - 1,7	0,9
						LTE 800	0,0 - 1,7	0,9
						LTE 1800	0,0 - 1,7	0,9
						LTE 2600	0,0 - 1,7	0,9
						LTE 2100	0,0 - 1,7	0,9
						LTE 2600	0,0 - 1,7	0,9
						LTE 2100	0,0 - 1,7	0,9
						LTE 1800	0,0 - 1,7	0,9

* moc EIRP łączna dla wszystkich częstotliwości anteny

Warunki pomiarów

Pomiary w wyznaczonych punktach wykonano w następujących warunkach:

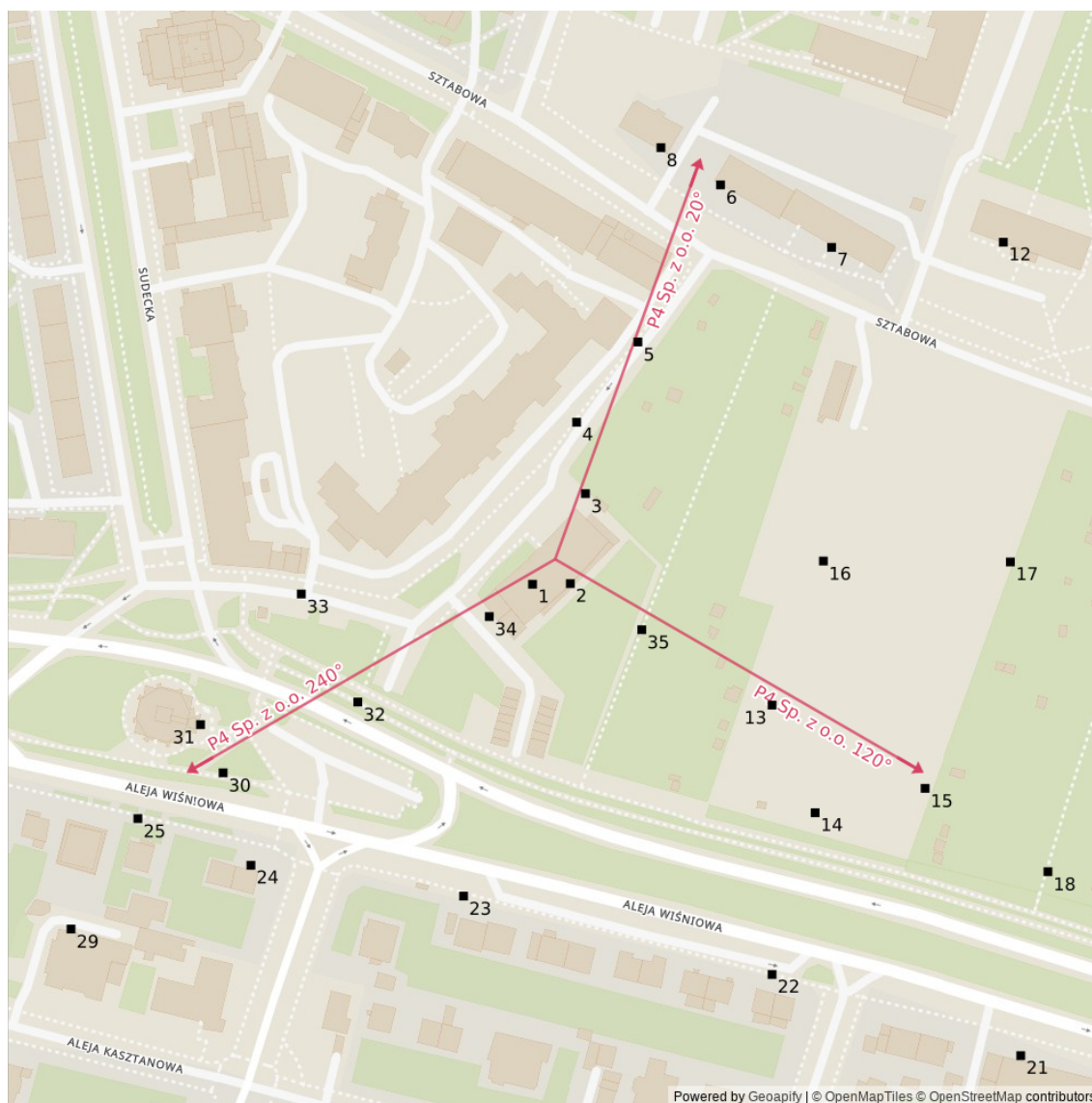
27.01.2022 09:30-11:00			
Warunki środowiskowe	Temperatura [°C]	Wilgotność [%]	Opady
Minimalna	3,1	71,2	brak
Maksymalna	3,7	76,5	

Aparatura

Tabela 2: Aparatura

MIERNIKI I SONDY					
Lp.	Typ / Nazwa	Model	Producent	Próg detekcji	Świadectwo wzorcowania
1a	miernik	NBM-520	Narda		LWiMP/W/068/20 z dn. 02.03.2020 wydane przez LWiMP Politechniki Wrocławskiej
1b	sonda	EF6091	Narda	0,60	
POZOSTAŁE					
Lp.	Typ / Nazwa	Model	Producent	Świadectwo wzorcowania	
2	termohigrometr	P330	DOSTMANN	47102/2016 z dn. 28.11.2016 wydane przez LAB-EL ELEKTRONIKA LABORATORYJNA ANDRZEJ ŁOBZOWSKI, MARIA ŁOBZOWSKA SP. J.	

Lokalizacje pionów pomiarowych



Rysunek 1: Plan terenu

Dodatkowe informacje o punktach

punkt 1: Korytarz - III p., al. Wiśniowa 36A

Wyniki pomiarów szerokopasmowych

Tabela 3: Zestawienie lokalizacji pionów pomiarowych oraz wyników pomiarów natężenia pola elektrycznego, pomiary szerokopasmowe

Nazwa	Data	Współrzędne geograficzne	E	WM _E	H	WM _H
		[°]	[$\frac{V}{m}$]		[$\frac{A}{m}$]	
1	27.01.2022	-	1,61	0,058	0,004	0,059

Ciąg dalszy na następnej stronie

Tabela 3: Zestawienie lokalizacji pionów pomiarowych oraz wyników pomiarów natężenia pola elektrycznego, pomiary szerokopasmowe (c.d.)

Nazwa	Data	Współrzędne geograficzne	E	WM _E	H	WM _H
		[°]	[$\frac{V}{m}$]		[$\frac{A}{m}$]	
2	27.01.2022	17,0196920 51,0857470	15,42	0,551	0,041	0,560
3	27.01.2022	17,0197710 51,0860420	5,52	0,197	0,015	0,201
4	27.01.2022	17,0197250 51,0862760	7,83	0,280	0,021	0,285
5	27.01.2022	17,0200450 51,0865390	11,05	0,395	0,029	0,402
6	27.01.2022	17,0204760 51,0870540	6,91	0,247	0,018	0,251
7	27.01.2022	17,0210560 51,0868490	11,05	0,395	0,029	0,402
8	27.01.2022	17,0201650 51,0871760	4,37	0,156	0,012	0,159
9	27.01.2022	17,0194890 51,0877850	3,22	0,115	0,009	0,117
10	27.01.2022	17,0202400 51,0878530	2,99	0,107	0,008	0,109
11	27.01.2022	17,0208680 51,0878290	2,76	0,099	0,007	0,100
12	27.01.2022	17,0219520 51,0868660	5,75	0,205	0,015	0,209
13	27.01.2022	17,0207450 51,0853490	5,52	0,197	0,015	0,201
14	27.01.2022	17,0209700 51,0849960	5,98	0,214	0,016	0,217
15	27.01.2022	17,0215440 51,0850760	8,75	0,313	0,023	0,318
16	27.01.2022	17,0210130 51,0858210	5,06	0,181	0,013	0,184
17	27.01.2022	17,0219890 51,0858180	5,98	0,214	0,016	0,217
18	27.01.2022	17,0221850 51,0848030	6,91	0,247	0,018	0,251
19	27.01.2022	17,0230840 51,0853420	5,98	0,214	0,016	0,217
20	27.01.2022	17,0227480 51,0847220	6,44	0,230	0,017	0,234
21	27.01.2022	17,0220430 51,0842000	5,75	0,205	0,015	0,209
22	27.01.2022	17,0207450 51,0844660	5,52	0,197	0,015	0,201

ciąg dalszy na następnej stronie

Tabela 3: Zestawienie lokalizacji pionów pomiarowych oraz wyników pomiarów natężenia pola elektrycznego, pomiary szerokopasmowe (c.d.)

Nazwa	Data	Współrzędne geograficzne	E	WM _E	H	WM _H
		[°]	[$\frac{V}{m}$]		[$\frac{A}{m}$]	
23	27.01.2022	17,0191350 51,0847230	5,75	0,205	0,015	0,209
24	27.01.2022	17,0180250 51,0848240	6,21	0,222	0,016	0,226
25	27.01.2022	17,0174350 51,0849770	6,68	0,239	0,018	0,243
26	27.01.2022	17,0166140 51,0851000	5,75	0,205	0,015	0,209
27	27.01.2022	17,0159110 51,0845340	2,30	0,082	0,006	0,084
28	27.01.2022	17,0161690 51,0843490	2,53	0,090	0,007	0,092
29	27.01.2022	17,0170860 51,0846150	2,99	0,107	0,008	0,109
30	27.01.2022	17,0178800 51,0851270	9,21	0,329	0,024	0,335
31	27.01.2022	17,0177620 51,0852850	8,75	0,313	0,023	0,318
32	27.01.2022	17,0185830 51,0853590	11,05	0,395	0,029	0,402
33	27.01.2022	17,0182880 51,0857130	5,98	0,214	0,016	0,217
34	27.01.2022	17,0192690 51,0856390	11,05	0,395	0,029	0,402
35	27.01.2022	17,0200650 51,0855960	9,21	0,329	0,024	0,335

Podsumowanie

Na podstawie wyników pomiarów pola elektromagnetycznego przedstawionych w niniejszym raporcie o nr P4/9/2022 opracowanym przez A-CONNECT Anna Garwol-Porosa stwierdza się, że w otoczeniu stacji bazowej WRO1111 dopuszczalne poziomy pól elektromagnetycznych w środowisku, określone w przepisach wydanych na podstawie art. 122 ust. 1 ustawy z dnia 27 kwietnia 2001 r. – Prawo ochrony środowiska uznaje się za **dotrzymane**. Udokumentowano, że w żadnym pionie pomiarowym wartości wskaźnikowe WM_E oraz WM_H nie przekroczyły 1.

Osoby odpowiedzialne

Wykonanie pomiarów: b.d.

Opracowanie sprawozdania: b.d.

Autoryzacja sprawozdania: Łukasz Porosa (Kierownik ds. jakości)